

# Доклады АН СССР 249, 1103 (1979)

(1)

et al., Selected Values of the Thermodynamic properties of the Elements, v. 1, Am. Soc. for Metal Park, Ohio.  
<sup>11</sup> E.J.O. Тонков, Фазовые диаграммы элементов при высоком давлении, М., "Наука", 1979.  
<sup>12</sup> B.K. Chakraverty, Phys. Chem. Solids, v. 30, № 2, 454 (1969).  
<sup>13</sup> J.A. Van Vechten, Phys. Rev. (B), v. 7, № 4, 1479 (1973).  
<sup>14</sup> Г.М. Кузнецов, В.А. Ротенберг, ЖФХ, т. 46, № 12, 308 (1972).  
<sup>15</sup> Д.Н. Холломон, Д. Тарнбэлл, Успехи физики металлов, т. 1, М., "Металлургиздат", 1956, стр. 304.

УДК 530.145.61+530.182

ФИЗИКА

Ф.М. ИЗРАЙЛЕВ, д.л. ШЕПЕЛЯНСКИЙ

## КВАНТОВЫЙ РЕЗОНАНС ДЛЯ РОТАТОРА В НЕЛИНЕЙНОМ ПЕРИОДИЧЕСКОМ ПОЛЕ

(Представлено академиком С.Т. Беллевым 7 V 1979)

1. Поведению нелинейных квантовых систем под действием внешнего периодического возмущения в последнее время уделяется все большее внимание (<sup>1-7</sup>). Это связано прежде всего с новыми возможностями экспериментального исследования поведения атомов и молекул в поле лазерного излучения (<sup>8-9</sup>). Основные трудности теоретического анализа возникают, когда внешнее воздействие нельзя считать малым, при этом теория возмущения становится неприменимой. В этом случае возрастает роль численных исследований. Такое исследование для простой и хорошо изученной в классической механике модели (<sup>10</sup>) (плоский ротор под действием дельтаобразных толчков) было проведено в (<sup>11</sup>). Основной результат состоит в обнаружении серьезных отличий в поведении квантовой системы (по сравнению с классической), когда движение становится стохастическим. Причем эти отличия остаются даже, если квантовая система находится в области глубокой квазиклассики. В частности, скорость диффузии средней энергии ротора лишь на ограниченных временах совпадает с классической, а затем резко падает. Кроме того, был обнаружен своеобразный тип движения, названный квантовым резонансом и не имеющий аналога в классической системе. Настоящая работа посвящена подробному исследованию открытого в (<sup>11</sup>) квантового резонанса.

2. Выбранная модель описывается гамильтонианом

$$(1) \quad \hat{H} = \frac{\hbar^2}{2J} \frac{\partial^2}{\partial \theta^2} + \tilde{k} \cos \theta \delta_T(t),$$

где  $\tilde{k}$  – параметр, характеризующий величину возмущения,  $\delta_T(t) = \sum_{n=-\infty}^{\infty} \delta(t-nT)$  – периодическая дельта-функция,  $J$  – момент инерции ротора,  $\theta$  – угловая переменная; в дальнейшем  $J = 1$ . Решая уравнение Шредингера с гамильтонианом (1), получим отображение для волновой функции через один шаг, включающее свободное вращение в течение времени  $T$  и толчок (см. (<sup>11</sup>)):

$$(2) \quad \tilde{\psi}(\theta) = \exp(-ik \cos \theta) \sum_{n=-\infty}^{\infty} A_n \exp\left(-i \frac{Tn^2}{2} + in\theta\right),$$

где  $k = \tilde{k}\hbar$ ,  $T = \hbar T$ ,  $A_n = \frac{1}{2\pi} \int_0^{2\pi} \psi(\theta) e^{-in\theta} d\theta$ . Далее  $\hbar = 1$ . Отметим, что согласно

(2) движение не меняется при замене  $T \rightarrow T + 4\pi m$ , где  $m$  целое. Поэтому достаточно рассмотреть  $T$  на интервале  $[0, 4\pi]$ .

Как было отмечено в (11), в случае основного квантового резонанса ( $T = 4\pi m$ ,  $m$  целое) энергия ротора  $E(t) = -\frac{1}{2} \int_0^{2\pi} \psi^*(\theta) \frac{\partial^2}{\partial \theta^2} \psi(\theta) d\theta$  на больших временах растет квадратично со временем. Исследуем общий случай квантового резонанса:  $T = 4\pi p/q$ ,  $p$  и  $q$  целые, взаимно простые числа. После некоторых преобразований (2) можно представить в виде

$$(3) \quad \bar{\psi}(\theta) = \exp(-ik \cos \theta) \sum_{n=0}^{q-1} \gamma_n \psi\left(\theta + \frac{2\pi n}{q}\right).$$

$$\gamma_n = \frac{1}{q} \sum_{m=0}^{q-1} \exp\left(-i\frac{2\pi p}{q} m^2 - i\frac{2\pi mn}{q}\right).$$

Запишем (3) в формуле, удобной для дальнейшего анализа:

$$(4) \quad \bar{\psi}\left(\theta + \frac{2\pi m}{q}\right) = \sum_{n=0}^{q-1} S_{mn} \psi\left(\theta + \frac{2\pi n}{q}\right);$$

$S_{mn}$  – матрица, представляемая в виде произведения диагональной и циклической матриц:  $S_{mn} = \beta_m \cdot \gamma_{n-m}$ ;  $\beta_m = \exp(-ik \cos(\theta + 2\pi m/q))$ . В силу унитарности матрицы  $S_{mn}$  ее собственные значения имеют вид  $\lambda_j(\theta) = \exp(i\alpha_j(\theta))$ ,  $|\lambda_j| = 1$ . Подчеркнем, что  $\lambda_j$  в общем случае зависят от  $\theta$ . Из (4) можно найти зависимость энергии ротора от времени ( $t$  – безразмерное время, измеряемое числом толчков):

$$(5) \quad E(t) = E(0) + \eta t^2 + a_{10} t + b_{10} + \sum_{m, m_1=0}^{q-1} G_{mm_1}(t) + t \sum_{m, m_1=0}^{q-1} R_{mm_1}(t),$$

где  $\eta$ ,  $a_{10}$ ,  $b_{10}$  – константы, не зависящие от времени. Для примера приведем выражения для  $\eta$  и  $R_{mm_1}(t)$ :

$$(6) \quad \eta = \frac{1}{2q} \int_0^{2\pi} d\theta \left\{ \sum_{l, l_1, m=0}^{q-1} (\alpha'_m)^2 \Phi_l^*(\theta, 0) \Phi_l(\theta, 0) Q_{l_1 m} Q_{lm}^* \right\} \geq 0,$$

$$R_{mm_1}(t) = -\frac{i}{q} \left\{ \sum_{n, l, l_1=0}^{q-1} \int_0^{2\pi} d\theta \left\{ \alpha'_m \Phi_{l_1}^*(\theta, 0) \Phi_l(\theta, 0) Q_{l_1 m_1} Q_{nm}^* Q_{nm}^* Q_{lm}^* \times \right. \right. \\ \left. \left. \times \exp(i(\alpha_m - \alpha_{m_1})t) \right\} \right\},$$

где  $\Phi_m(\theta, t) = \psi(\theta + 2\pi m/q, t)$ ,  $Q$  – унитарная матрица, приводящая  $S_{mn}$  к диагональному виду, штрих означает производную по  $\theta$ . Так как  $\alpha_m$  зависят от  $\theta$ , то на асимптотически больших временах  $R_{mm_1}(t)$ ,  $G_{mm_1}(t)$  ( $m \neq m_1$ ) выражаются через интеграл от быстроосцилирующей функции и с ростом времени стремятся к  $R_{mm}(0)$ ,  $G_{mm}(0)$ . Таким образом, на асимптотически больших временах имеем

$$(7) \quad E(t) = \eta t^2 + a_1 t + b_1 + E(0).$$

Аналогично определяется асимптотическая зависимость импульса ротора от времени:  $P(t) = a_2 t + b_2 + P(0)$ . Полученные выражения для энергии и импульса являются универсальными и дают вид асимптотики на больших временах.

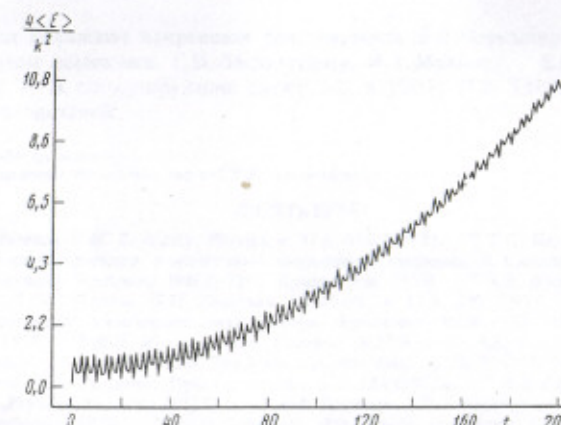


Рис. 1. Зависимость энергии ротора  $E$  от времени в случае квантового резонанса;  $T = 4\pi^2/5$ ;  $k = 0.5$ ;  $t = 200$

3. Исследуем структуру спектра квазиэнергий. В момент времени  $t = 0$  волновые функции с определенной квазиэнергией представимы в виде

$$(8) \quad \psi_{\epsilon_j(\theta_0)}(\theta, 0) = \sum_{n=0}^{q-1} C_n^j(\theta_0) \delta_{2\pi} \left( \theta + \theta_0 + \frac{2\pi n}{q} \right).$$

Квазиэнергия  $\epsilon_j(\theta_0)$  определяется собственными значениями  $\bar{\lambda}_j(\theta_0) = \exp(i\bar{\alpha}_j(\theta_0))$  унитарной матрицы  $\bar{S}_{nm} = \beta_n(\theta_0) \cdot \gamma_{n-m}$ :

$$(9) \quad \epsilon_j(\theta_0) = -\bar{\alpha}_j(\theta_0)/T.$$

Коэффициенты  $C_n^j(\theta_0)$  являются элементами собственных векторов матрицы  $\bar{S}_{nm}$ ,  $\theta_0$  – непрерывный параметр:  $0 \leq \theta_0 < 2\pi$ . Из анализа (9) видно, что спектр квазиэнергий имеет дискретные уровни в том случае, когда матрица  $\bar{S}_{nm}$  имеет собственные значения  $\bar{\lambda}_j$ , не зависящие от  $\theta_0$ . Из явного вида  $\bar{S}_{nm}$  следует, что для любых  $p/q$  ( $p/q \neq 1/2$ ) спектр квазиэнергий (9) в резонансе непрерывен. Из (8) легко находится

$$\psi_{\epsilon_j(\theta_0)}(\theta, t) = \exp(-ik \cos \theta \cdot \vartheta(t-T)) \sum_{n=-\infty}^{\infty} A_n \exp\left(-i\frac{n^2 t}{2} + in\theta\right), \quad 0 \leq t \leq T;$$

$A_n$  – фурье-компоненты  $\psi_{\epsilon_j(\theta_0)}(\theta, 0)$ ,  $\vartheta(t-T)$  – единичная ступенчатая функция. Интересно отметить, что  $\langle |n| \rangle$  в резонансе растет пропорционально времени, поэтому, если бы невозмущенная система обладала спектром  $E_n \sim n^m$  ( $m > 1$ , целое), то ее энергия росла бы со временем по закону  $E(t) \sim t^m$ .

Явный вид  $\bar{\lambda}_j(\theta)$  найден в трех случаях:

а)  $p/q = 1$  – Основной резонанс. Зависимость энергии от времени (когда вначале возбуждено основное состояние  $n = 0$ ) дается формулой  $E(t) = k^2 t^2 / 4$ . Спектр квазиэнергий имеет вид  $\epsilon(\theta_0) = k \cos \theta_0 / 4\pi$ .

б)  $p/q = 1/2$ . Из (3) получаем  $\bar{\psi}(\theta) = \exp(-ik \cos \theta) \psi(\theta + \pi)$ . Через два толчка система возвращается в исходное состояние. Собственные значения  $\bar{\lambda}_{1,2} = \pm 1$ . Спектр квазиэнергий состоит из двух уровней с квазиэнергиями  $\epsilon_1 = 0$ ,  $\epsilon_2 = 1/2$ .

Такое вырождение собственных значений (когда  $\bar{\lambda}_i$  не зависят от  $\theta$ ) случайно и для других резонансов, видимо, не имеет места.

в)  $p/q = \frac{1}{4}$ . Из (3) следует:  $\bar{\psi}(\theta) = \exp(-ik\cos\theta) \cdot 2^{-\frac{1}{2}} \times (e^{-i\pi/4}\psi(\theta) + e^{i\pi/4} \times \chi\psi(\theta + \pi))$ . Собственные значения  $\lambda_{\pm} = \bar{\lambda}_{\pm} = \exp(\pm i\alpha(\theta) - i\pi/4)$ , где  $\cos(\alpha(\theta)) \cdot 2^{-\frac{1}{2}} \times \chi \cos(k\cos\theta)$ . При  $k \ll 1$ , когда вначале возбуждено основное состояние, получим  $\eta \approx k^4/16$ . При  $k \gg 1$  имеем  $\eta \approx k^2/12$ . Спектр квазиэнергий:  $\epsilon_{\pm}(\theta_0) = \frac{1}{4} \mp \alpha(\theta_0)/\pi$ .

Из полученных для  $\eta$  оценок следует, что при  $k \ll q$   $\eta \sim (k/q)^2 q$  — спектр квазиэнергий состоит из  $q$  экспоненциально узких зон шириной  $\Delta\epsilon \sim (k/q)^2 q$ . В случае  $k \gg q$  ( $\eta \sim k^2/q$ ) для нахождения зонной структуры требуется знание детальных свойств собственных значений матрицы  $S_{nm}$ .

4. Наряду с теоретическим анализом проводилось также исследование модели численно. В процессе решения задачи находились фурье-компоненты волновой функции по формуле:  $\bar{A}_n = \sum_{m=-\infty}^{\infty} F_{nm} A_m$ , где  $F_{nm} = (-i)^{n-m} \exp(-iTm^2/2) \times \chi J_{n-m}(k)$ ;  $J_{n-m}(k)$  — функция Бесселя. Фактически сумма содержит  $\sim 2k$  членов, так как  $|J_n(k)|$  экспоненциально падает с ростом  $n'$  при  $n' > k$  (толчок захватывает  $\sim 2k$  уровней). Контроль за точностью счета заключался в проверке условия нормировки волновой функции  $W = \sum_{n=-\infty}^{\infty} |A_n|^2 = 1$ . Во всех случаях

ошибки не превышали  $\delta W \leq 3 \cdot 10^{-3}$ . С течением времени ошибки счета нарастают вследствие конечного числа уровней  $N = 4001$ . Начальные условия варьировались от возбуждения одного уровня (основное состояние) до возбуждения  $\sim 20$  уровней (гауссовский пакет). Во всех случаях асимптотический вид движения слабо зависел от выбора начального состояния. Энергия ротора вычислялась по формуле  $E = \sum_{n=-\infty}^{+\infty} \frac{n^2}{2} |A_n|^2$ . Численные результаты для самых различных  $k, q, p$  показывают, что зависимость  $E(t)$  достаточно хорошо аппроксимируется квадратичным полиномом (см. рис. 1). Экспериментальные значения  $\eta$  по порядку величины согласуются с аналитическими оценками.

5. Проведенные исследования показывают, что для квантовых резонансов, система которых является всюду плотной, асимптотическая зависимость энергии ротора от времени является универсальной и описывается квадратичным законом (7). Это означает, что в резонансе отсутствует квантовая граница устойчивости ( $k \approx 1$ ), предсказанная в <sup>(3)</sup> и наблюдавшаяся в нерезонансном случае <sup>(11)</sup>. Важно отметить также, что отсутствует и классический критерий устойчивости ( $kT \approx 1$ ), хотя при этом система может находиться в глубоко квазиклассической области. В то же время для нелинейной системы с классическим гамильтонианом, соответствующим (1), согласно теории Колмогорова — Арнольда — Мозера <sup>(12-14)</sup> и численным экспериментам <sup>(10)</sup> при малом возмущении движение устойчиво и энергия системы ограничена. Все это указывает на существенное отличие в поведении квантовой системы по сравнению с классической.

Нетрудно показать, что при возмущении типа  $f(x)\delta_T(t)$  для существования резонанса необходимо, чтобы спектр невозмущенного гамильтониана  $H_0$  был дискретным и имел вид полинома от квантового числа с рациональными коэффициентами. При этом также требуется, чтобы было выполнено условие  $\psi_m \psi_n = \psi_{m+n}$  для собственных функций гамильтониана  $H_0$ . Вполне вероятно, что последнее условие можно ослабить.

Рассмотренное явление квантового резонанса может оказаться полезным при изучении вопроса о быстром возбуждении квантовых систем при помощи достаточно коротких периодических лазерных импульсов.

Авторы выражают искреннюю благодарность Б.В. Чирикову за внимание к работе и ценные замечания, Г.М. Заславскому, И.А. Малкину, В.В. Соколову и С.А. Хейфецу — за стимулирующие дискуссии, а также Л.Ф. Хайлло за помощь в проведении вычислений.

Институт ядерной физики  
Сибирского отделения Академии наук СССР, Новосибирск

Поступило  
21 V 1979

## ЛИТЕРАТУРА

- <sup>1</sup> G.P. Berman, G.M. Zaslavsky, Physica, v. 91A, 450 (1978); <sup>2</sup> Г.П. Берман, Г.М. Заславский, Условие стохастичности в квантовых нелинейных системах, II. Кинетическое описание квантовых  $K$ -систем. Препринт ИФСО-78Ф, Красноярск, 1978.
- <sup>3</sup> Э.В. Шурак, ЖЭТФ, т. 71, 2039 (1976).
- <sup>4</sup> G.P. Berman, G.M. Zaslavsky, Phys.Lett., v. 61A, 295 (1977).
- <sup>5</sup> В.В. Соколов, Нелинейный резонанс квантового осциллятора. Препринт ИЯФ СО АН СССР, 78-50, Новосибирск, 1978.
- <sup>6</sup> М.В. Кузьмин, В.Н. Сазонов, ЖЭТФ, т. 73, 422 (1977).
- <sup>7</sup> М.В. Манаков, Л.П. Рапопорт, А.Г. Файнштейн, Теоретич. и матем. физ., т. 30, 395 (1977).
- <sup>8</sup> V.S. Letokhov, E.A. Ryabov, O.A. Tumanov, Optics Commun., v. 5, 168 (1972).
- <sup>9</sup> N.R. Izquierdo, V. Merchant et al., Canad. J.Phys., v. 51, 1281 (1973).
- <sup>10</sup> Б.В. Чириков, Взаимодействие нелинейных резонансов, Новосибирск, 1978.
- <sup>11</sup> Ф.М. Израильев, Дж. Казати, Дж. Форд, Б.В. Чириков, Тр. конфер. по стохастическому поведению в классических и квантовых гамильтониановых системах, Комо, Италия, 1977, Препринт ИЯФ СО АН СССР, 78-46, Новосибирск, 1978.
- <sup>12</sup> А.Н. Колмогоров, ДАН, т. 98, 527 (1964).
- <sup>13</sup> В.И. Арнольд, УМН, т. 18, № 6, 527 (1963).
- <sup>14</sup> J. Moser, Math.Rev., v. 20, 675 (1959).

УДК 531.51

ФИЗИКА

В.М. СИДОРОВ

## ВОЗДЕЙСТВИЕ ПЛОСКИХ ГРАВИТАЦИОННЫХ ВОЛН ПРОИЗВОЛЬНОЙ ЧАСТОТЫ НА ОСЦИЛЛЕТОР

(Представлено академиком Л.И. Седовым 22 V 1979)

Проблема обнаружения гравитационных волн (г.в.) выдвигает в качестве весьма важной задачи разработку методов эффективного исследования поведения различных систем (детекторов) в поле г.в. Мы рассматриваем одну из таких возможностей, основанную на известном методе осреднения Н.М. Крылова и Н.Н. Боголюбова <sup>(1,2)</sup>.

Будем исходить из уравнений Голикова — Шермана <sup>(3)</sup>, описывающих смещения частиц в гравитационном поле относительно опорной линии,

$$(1) \quad (\delta_{\beta}^{\alpha} - u^{\alpha} u_{\beta}) \left\{ \frac{\delta^2 \xi^{\beta}}{ds^2} - \frac{\delta \Phi^{\beta}}{d\xi} + \xi^{\delta} (2\Phi^{\mu} \Phi_{\delta} + R^{\beta}_{\gamma\delta\rho} u^{\gamma} u^{\rho}) \right\} = 0,$$

где  $R^{\alpha}_{\beta\gamma\delta}$  — тензор Римана — Кристоффеля,  $u^{\alpha}$  — скорость частицы,  $(\alpha, \beta, \gamma = 0, 1, 2, 3)$ ,  $\Phi^{\alpha} = \frac{1}{mc^2} F^{\alpha}$ ,  $F^{\alpha}(x, u)$  — поле четырехмерной силы,  $\xi^{\alpha}$  — вектор относительного смещения, величина

$$\delta \Phi^{\alpha}/d\xi = \tilde{\Phi}^{\alpha} - \Phi^{\alpha} + \Gamma_{\beta\gamma}^{\alpha} \Phi^{\beta} \xi^{\gamma}$$

является абсолютной производной вектора 4-силы  $\Phi^{\alpha}$  в направлении вектора  $\xi$ . Все величины, входящие в (1), задаются на опорной линии.